

Таблица 3

Результаты рентгеноструктурного анализа новообразований, полученных в опытах с кимберлитами

№ п. п.	Диопсид, обр. № 522		Эталон диопсида 2-0656 [8]		Гранат, обр. № 506		Эталоны граната [4]			
	I	α/n	I	α/n	I	α/n	I	α/n	I	α/n
1	2	3,6	3,41	20	5	(3,3)	2	(3,15)	2	(3,17)
2	3	3,3	3,33	20	8	2,84	7	(2,857)	6	2,873
3	6	3,22	3,26	50	10	2,55	10	2,556	10	2,570
4	10	2,98	3,00	100	2	2,43	4	2,437	3	2,451
5	5	2,92	2,91	30	3	2,33	4	2,333	4	2,346
6	4	2,88	—	—	4	2,24	4	2,241	4	2,254
7	1	2,81	—	—	3	2,08	4	2,087	4	2,098
8	2	2,76	—	—	4	1,85	7	1,854	7	1,865
9	5	2,55	2,57	20	2	1,69	6	1,685	4	1,695
10	9	2,50	2,52	100	3	1,65	6	1,650	7	1,659
11	1	2,28	2,30	20	7	1,59	9	1,585	9	1,594
12	5	2,14	2,13	50	9	1,53	10	1,527	10	1,536
13	4	2,04	2,04	30	3	1,43	6	1,429	7	1,437
14	1	2,00	2,01	30	2	1,36	3	1,347	3	1,355
15	3	1,82	1,83	40	2	1,29	8	1,278	8	1,285
16	1	1,78	—	—	4	1,255	9	1,247	9	1,254
17	7	1,75	1,74	70	2	1,219	6	1,218	6	1,285
18	5	1,65	1,66	20	2	1,162	6	1,155	6	1,161
19	9	1,62	1,62	100	5	1,049	10	1,061	10	1,067
20	2	1,55	—	—	4	1,049	10	1,043	10	1,049
21	2	1,54	1,52	30	4	1,018	9	1,0102	9	1,0158
22	2	1,49	1,50	30	5	0,933	—	—	—	—
23	2	1,47	—	—	5	0,858	—	—	—	—
24	9	1,41	1,42	90	—	—	—	—	—	—
25	3	1,40	—	—	—	—	—	—	—	—
26	3	1,32	1,32	80	—	—	—	—	—	—
27	3	1,31	—	—	—	—	—	—	—	—
28	4	1,28	1,28	70	—	—	—	—	—	—
29	2	1,25	1,26	70	—	—	—	—	—	—
30	4	1,24	1,24	30	—	—	—	—	—	—
31	8	1,07	1,07	100	—	—	—	—	—	—
32	5	1,06	—	—	—	—	—	—	—	—
33	5	1,06	1,06	30	—	—	—	—	—	—
34	3	1,05	—	—	—	—	—	—	—	—
35	1	1,04	—	—	—	—	—	—	—	—
36	3	1,03	—	—	—	—	—	—	—	—
37	4	1,01	—	—	—	—	—	—	—	—

$$a_0 \text{ граната} = 11,49 \pm 0,03 \text{ \AA}$$

(из линий 11—23)

Примечание. Съемка производилась в камере РКД диаметром 57,3 мм с образцом диаметром 0,5 мм; диопсид — на железном неотфильтрованном излучении; гранат — на медном, с никелевым фильтром. Параметр a_0 вычислен по нескольким линиям в области углов $\Theta=45-60^\circ$.

В образцах кимберлита, испытавших плавление ($T > 1300-1400^\circ\text{C}$) и медленное охлаждение, наблюдается образование в стекле крупных (до $0,5 \times 5$ мм) хорошо образованных шестоватых кристаллов форстерита ($Ng' = 1,688$; $Np' = 1,659$). Других минеральных фаз не устанавливается, что отвечает данным диаграммы плавкости соответствующего состава. Проекция химического состава исследуемого кимберлита на диаграмму плавкости системы $\text{CaO} - \text{SiO}_2 - \text{MgO}$ [7] показывает, что фигурационная точка располагается в поле форстерита на значительном удалении от поля пироксенона (рис. 4). Следовательно, диопсид мог бы, очевидно, образоваться только в случае полной или почти полной раскристаллизации расплава.

Форма кристаллов вновь образованных минералов в значительной мере определяется температурным режимом. В случае кристаллизации

в условиях быстрого снижения температуры даже форстерит образуется в виде резко удлиненных шестоватых или длинно-призматических кристаллов. Эти формы характерны для минералов, кристаллизующихся в условиях значительного пересыщения [5]. Удлиненные кристаллы и

их агрегаты ориентированы в направлении температурного градиента. Следовательно, условием образования удлиненных форм кристаллов является наличие значительных температурных градиентов и относительно быстрое снижение температуры (при этом происходит закалка). При кристаллизации в условиях медленного снижения температуры кристаллизации образующиеся минералы имеют изометричные кристаллографические формы.

Проведенное экспериментальное изучение явлений минералообразования в кимберлитах в условиях высоких температур и давлений позволяет сделать некоторые выводы относительно условий природного образования кимберлитов.

Рис. 3. Диаграмма состав — прагенезис для минеральных новообразований, возникших при перекристаллизации кимберлита в условиях высоких давлений и температур. (I — точка исходного состава кимберлита, II — точка состава кимберлита за вычетом кальцита).

го состава первичной магматической кимберлитовой породы к составу гранатового перидотита, по-видимому, может указывать на генетическую связь этих пород. Своебразие состава кимберлитовых пород, очевидно, в значительной мере обусловливается наложенными процес-

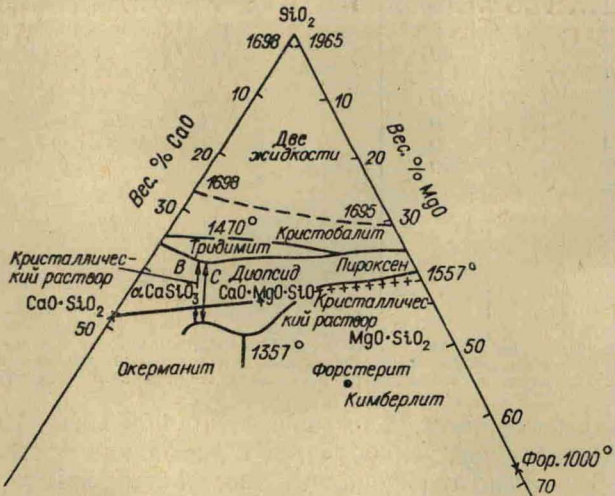


Рис. 4. Часть диаграммы $\text{SiO}_2\text{—MgO}\text{—CaO}$, по Осборну [7], с проекцией состава кимберлита, использованного в экспериментах.

сами метасоматоза с существенным привносом CaO , CO_2 , H_2O и, вероятно, щелочей. Образование гранатсодержащих разностей кимберлитов может быть отчасти связано с ассимиляцией ультраосновной магмой богатых глиноzemом метаморфических пород на ранних стадиях формирования кимберлитовых тел.